

Design, Implementation and Control of a Rotary Inverted Pendulum

Dr. O. OLABY

Academic Staff in Fac. of Electrical
& Electronic Engineering
University of Aleppo

Abstract

The aim of this research is to built a control algorithm for our rotary inverted pendulum system that is designed and implanted. The inverted pendulum problem is one of the most important and favorite topics for control system enthusiasts. The rotary inverted pendulum consists of a rigid body rod (pendulum) rotating in a vertical plane. This inverted pendulum inherently unstable and must be actively balanced in order to remain upright. So, an advanced control algorithm is required to maintain proper and correct orientation. The mathematical model has be simulated using MATLAB/SIMULINK software with multi controllers that have been designed. The perfect designed controller will be chosen to control the new pendulum.. Based on the good results obtained in this research, the pendulum system manages to reach the upright position and to remain in the stability.

Keywords:

Rotary Inverted Pendulum, Poles Placement Controller, PID Controller, LQR Controller, Simulation by Matlab.

Received / / 2012

Accepted / / 2012

1- المقدمة و أهمية البحث:

تتبع أهمية هذا البحث من إن مسألة النّواس المقلوب هي واحدة من أهم المواضيع للأشخاص الميتمين في دراسة أنظمة التحكم، التي أصبحت تساهم بشكل كبير في عملية تطوير العديد من مجالات الهندسة. يمكن اعتبار النّواس المقلوب مثال عملي للأنظمة اللاخطية يسمح بتطبيق واختبار خوارزميات تحكم متنوعة مثل متحكمات الـ PID، الشبكات العصبونية، و التحكم الضبابي [1]. وبالتالي يمكن اعتماد نظام النّواس كأداة تعليمية و توضيحية مهمة جداً، يمكن استثمارها في القسم العملي لمقررات هندسة التحكم التي تدرس لطلاب الجامعة.

يمكن تصنيف نظام النّواس المقلوب وفق معيارين، الأول هو شكل حركة النّواس، حيث لدينا إما نواس انسحابي أو نواس دوراني. الإنسحابي عبارة عن عربة يتمركز عليها نواس بواسطة مفصل دبوسي، تعتبر قوة المحرك المطبقة على العربة هي دخل للنظام الذي يستجيب بإزاحة العربة خطياً و بالإزاحة الزاوية لوصلة النّواس [2,3]. بالنسبة للنّواس الدوراني فإن أبسط أشكاله التي يمكن التحكم بها، هو عبارة عن وصلة نواس مرتبطة مباشرة بمحور محرك [3]، ولكن هذا الشكل بسيط جداً وغير كافي لإيجاد تطبيق له أو استثماره. لذلك فإن أبسط نواس مقلوب يجب أن يمتلك درجتين حريتين على الأقل، درجة حرية ناتجة عن تحريك موضع قاعدة النّواس والأخرى ناتجة عن تحريك زاوية وصلة النّواس [1]. في الحقيقة إن المعيار الثاني لتصنيف أنظمة النّواس المقلوب هو عدد درجات الحرية. من أجل تحقيق أنظمة نواس بدرجات حرية أعلى نقوم إما بزيادة عدد الوصلات، أو نسمح لكل وصلة موجودة بالتحريك في أكثر من سنو وهذا يحتاج إلى مفصل كروي لتنفيذه. إن موازنة عصا على راحة الكف هو أحد الأمثلة لنّواس مقلوب بدرجتين حريتين. باعتبار أن مفصلي الكتف والمرفق هما مفصلي حركة.

كانت بداية التوجه لدراسة أنظمة النّواس المقلوب عند ظهور الحاجة لتصميم متحكمات لموازنة الصواريخ في بداية إقلاعها العمودي أثناء عملية الإطلاق، حيث يكون الصاروخ في هذه الحالة غير مستقر بشكل كبير [4]. وبشكل مشابه يحتاج

النَّوَّاسِ المقلوب إلى آلية تصحيح مستمرة ليبقى ثابتاً في وضعه العلوي، باعتباره نظام غير مستقر في الحلقة المفتوحة.

يتم حالياً استثمار مبدأ عمل النَّوَّاسِ المقلوب في الكثير من التطبيقات، نذكر على سبيل المثال لعبة الموازنة في مدينة الملاهي [5]، حيث تتكون من ذراع مثبتة على محور شاقولي. إحدى نهايتي النَّوَّاسِ تحتوي عربة الركاب والنهية الأخرى تكون غالباً مجهزة بنقل كبير معاكس. مبدأ اللعبة يعتمد على أرجحة النَّوَّاسِ ذهاباً وإياباً باستخدام مجموعة محركات DC تقوم بتحريك المحور. لدينا أيضاً الراجعات المستخدمة لتحميل وتفريغ حمولات كبيرة، أو من أجل تركيب معذات ضخمة في المعامل. إن عملية نمذجة وتطوير متحكمات لنظام النَّوَّاسِ المقلوب ستساهم كثيراً في عملية تحسين أداء هذه التطبيقات.

إن نظامنا المصمم و المنفذ صغير الحجم بشكل كافٍ بحيث يمكن نقله من مكان لآخر، داخل أو خارج الجامعة. من الناحية الميكانيكية، يعتبر النظام المصمم صلباً بشكل كافٍ بحيث يسمح للطلاب بمحاولة موازنة النَّوَّاسِ يدوياً، الأمر الذي لا يمكن تحقيقه ولكن ذلك من شأنه أن يعطيهم فكرة واضحة عن قدرة المتحكم في التغلب على صعوبة موازنة الذراع للأعلى.

تم في هذا البحث ذكر مبادئ النَّوَّاسِ المقلوب الدوراني وتم اعتماد أفضل نموذج تحكم ممكن لنظام النَّوَّاسِ المقلوب الذي تم تصميمه.

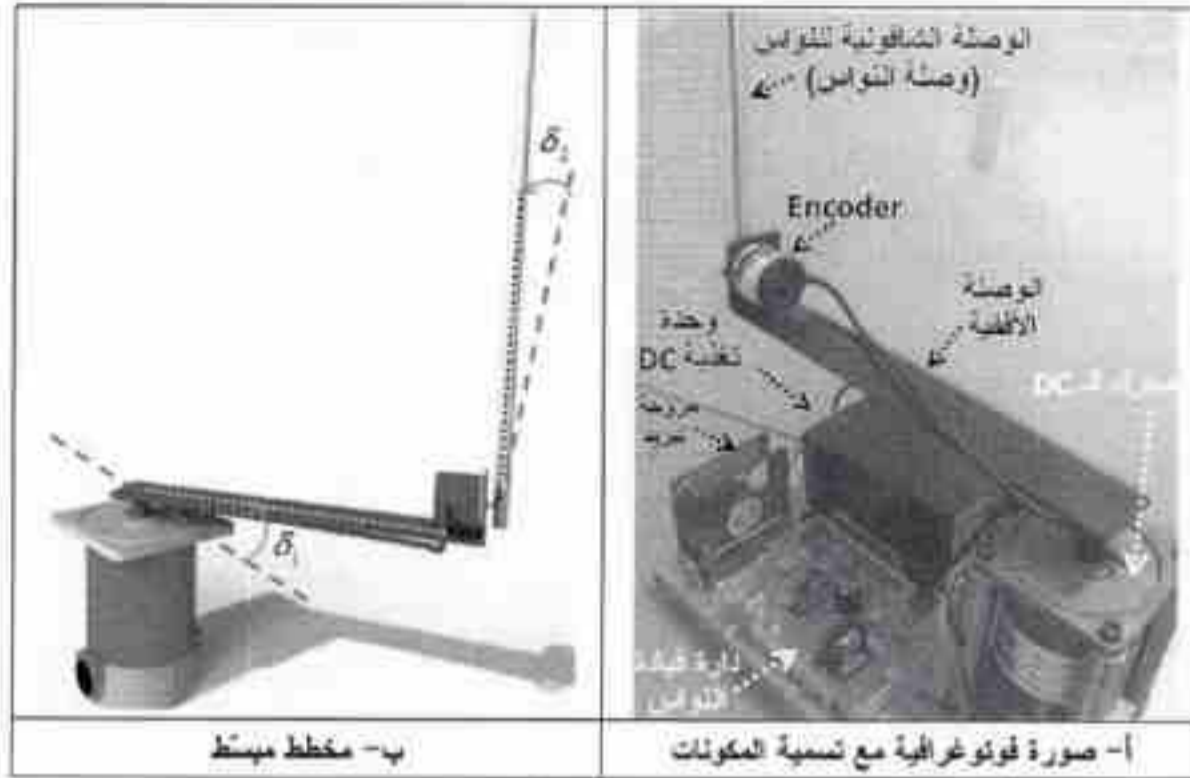
بعد أن تم عرض مقدمة نظرية عن مفهوم النَّوَّاسِ المقلوب و أشكاله، سنناقش في الفقرة الثانية الطريقة المتبعة في تنفيذ البحث والتي تعرض تصميم القسمين الفيزيائي "الميكانيكي" والإلكتروني للنظام، وتشرح كيفية نمذجة النَّوَّاسِ بجملة معادلات رياضية تعبر عن سلوكه الديناميكي. ستعرض الفقرة الثالثة من هذا البحث كيفية تصميم ثلاث أنواع لمتحكمات مختلفة (المتحكم التناسبي التكاملي التفاضلي PID، المتحكم الأمثل، متحكم تواضع الأقطاب). في حين ستقدم الفقرة الرابعة نتيجة محاكاة خوارزميات التحكم الثلاث السابقة والمقارنة بينها. أما الفقرة الأخيرة فستلخص العمل المنجز وتنتقل إلى الآفاق المستقبلية لهذا البحث.

2- طرائق البحث

يمكن توضيح منهجية البحث من خلال المخطط المبين في الشكل (1)، الذي يوضح المراحل العامة للعمل، و سيتم الحديث عن تفاصيل كل مرحلة في الفقرات التالية. حيث انه بعد أن تم تنفيذ التصميم الميكانيكي للنواص تم اختيار العناصر الكهربائية للنظام كـ Encoder والمحرك ودارة قيادته الإلكترونية التي تحتوي على الـ Microcontroller، ثم فيما بعد اعتماد نموذج رياضي للنظام بالكامل، الأمر الذي سمح بمحاكاة النظام قبل التطبيق العملي للأوامر التحكم.



الشكل(1): المخطط النهجي لطريقة البحث المتبعة



الشكل (2): للنواس المقلوب الدوراني المصمم والمنفذ بقسميه الميكانيكي والكهربائي/الالكتروني.

2-1 تصميم القسم الميكانيكي:

- يبين الشكل (2) تصميم نظام نواس مقلوب بوصلة نواس واحدة تتحرك في مستوى شاقولي معامد لوصلة ثانية أفقية موصولة مباشرة إلى محور محرك، مما يعطيها حركة دورانية في مستوى أفقي. في بداية العمل قمنا بوضع متطلبات التصميم والتي نتج عنها بارامترات التصميم التالية:
- لكي تكون التجربة سهلة النقل يجب أن لا يزيد طولها عن متر واحد في وضع الإيقاف وبالتالي سيكون طولها أقل من مترين في حالة العمل.
 - لكي تكون التجربة قوية الهيكل وخالية من الإحتكاك السنانيكي والإرتداد والنمايل، يجب أن تكون قاعدة النظام ثقيلة بشكل كافٍ لتحمل القوة الدافعة لوصلات النواس التي قد تؤدي إلى اهتزاز النظام.
 - لجعل ديناميكية النظام بطيئة بشكل كافي لتحقيق قابلية التحكم، يجب أن تكون وصلة النواس أطول ما يمكن.
 - يجب استخدام مكونات ذات نوعية جيدة بحيث تكون ذات عمر اقتصادي طويل.

تم تصميم الوصلة الأفقية بطول (350mm) وسماكة (2mm) من الحديد وذلك من أجل تحمل وزن كل من الـ Encoder و وصلة التوازن، وتجنب الانحناء. إن الوصلة الأفقية الموضحة في الشكل (3) لها شكل مبسط تم تلحيصها من الأسفل مع محور يركب على محور المحرك ويثبت عليه بواسطة برغي، ولتثبيت الـ Encoder على الطرف الآخر للوصلة تم حلي الوصلة من على مسافة (300mm) بزاوية 90° نحو الأعلى، و إحداث فتحة بنصف قطر (10mm).



الشكل (3) وصلة التوازن الأفقية.

يبين الشكل (4) وصلة التوازن الشاقولية، أنها عبارة عن اسطوانة بطول (414mm) وقطر (10mm) من الألمنيوم بوزن خفيف (90g) ليسهل من توازنها. لتثبيت وصلة التوازن مع الوصلة الأفقية تم إيجاد فتحة عند نهاية وصلة التوازن تسمح بتثبيت محور الـ Encoder فيها عن طريق برغي يمنع الزلاق وصلة التوازن أثناء عملية التوازن.



الشكل (4) أبعاد وصلة التوازن الشاقولية (وصلة التوازن).

2-2 تصميم القسم الكهربائي:.

إن النظام الإلكتروني المكون من الـ Encoder والمشغل وتجهيزات معالجة الإشارة يجب أن يعمل بدرجة عالية من الدقة، كما و يجب توفير إمكانية الحصول على المعلومات بمستوى عالي.

لقد تم استخدام محرك تيار مستمر كمشغل، باعتبار أن محركات التيار المستمر توفر إمكانية التحكم بالسرعة بشكل مرن وديناميكي أكثر من محركات التيار المتناوب [6]، وهذا يعني إمكانية تغيير السرعة والعزم وحتى اتجاه دوران المحرك بحسب تغيرات الحمل ومتطلبات العمل وذلك بأليات سهلة وبسيطة. فيما يلي مواصفات المحرك المستخدم:

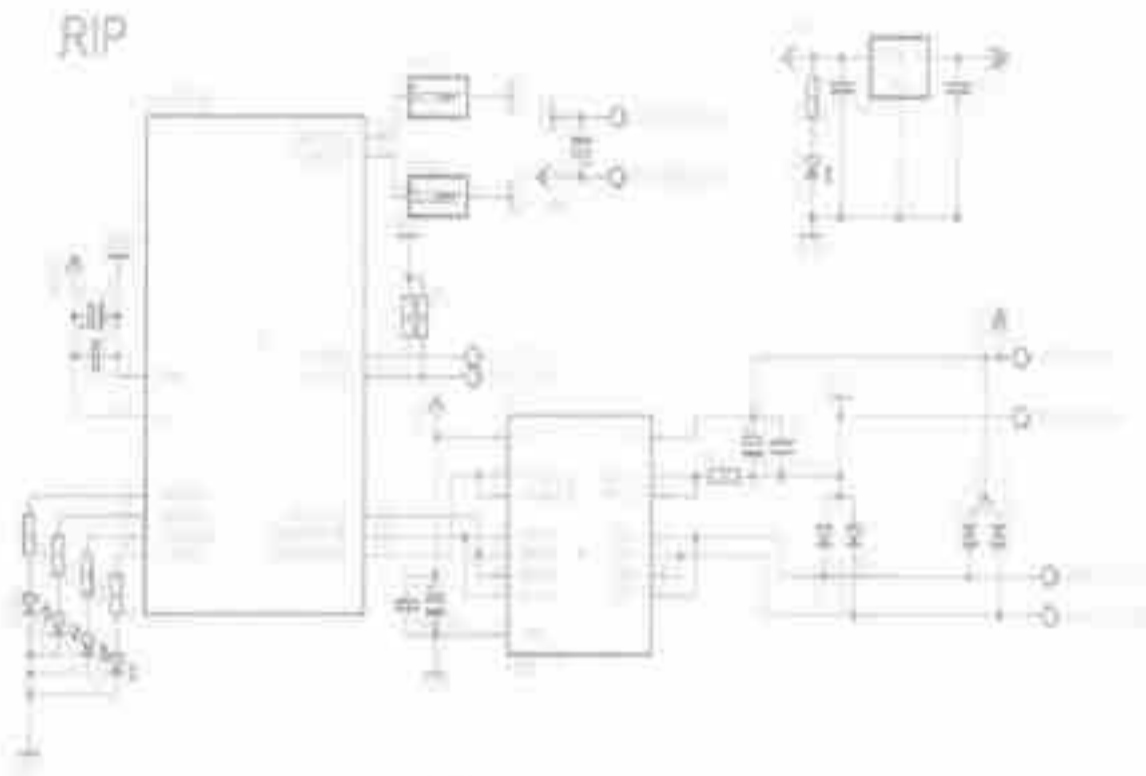
جدول (1): مواصفات محرك الـ DC المستخدم

Maximum Continuous Torque	12 N cm
Maximum Peak Torque	22 N cm
Motor Voltage Constant	12 V/4000 rpm
Motor Torque Constant	9 N cm/A
Mechanical Time Constant	17 ms
Rotor Inertial	0.214 kgcm ²
Rotor Resistance	1.3Ω
Rotor Inductance	5.0 Mh

يبين الشكل (5) المخطط الإلكتروني لدارة التحكم بنظام التوازي المقلوب الدوراني. لقد استخدمنا في التصميم الإلكتروني لقيادة محرك التيار المستمر الشريحة L298 [7]. إن تلك الدارة المتكاملة هي عبارة عن جسر H كامل مزدوج Dual full-bridge driver لأربعة ترانستورات استطاعية تم تشغيلها معاً بحيث تعمل كمفاتيح لإشارة الـ PWM. تمتاز الشريحة L298 بأنها ذات تيار و جهد عالين وهي مصممة لتحقيق المستويات المنطقية لمعايير الـ TTL.

استخدمنا كمعالج الشريحة ATMEGA8، التي هي عبارة عن متحكم Microcontroller ذو 8-bit مصنع بتقنية CMOS ذات الطاقة المتخفضة، المعيني على أساس بنية AVR بمزايا بنية معالجات الـ RISC المحسنة مع ذاكرة

برنامج ومبضبة Flash قابلة لإعادة البرمجة [8]. إن المتحكم ATMEGA8 ينجز تقريباً مليون تعليمة في الثانية 1MIPS عند تردد قدره 1MHz، مما يسمح لمصمم النظام باستهلاك الطاقة الأمثلية مقابل سرعة المعالجة. لقد صنعت هذه الشريحة باستخدام تقنية ذاكرات Atmel Memory الغير قابلة للزوال ذات الكثافة العالية. إن المتحكم ATMEGA8 يتسع بالقوة والمرونة العالية وبالكلفة المنخفضة للعديد من تطبيقات التحكم المتطورة.



الشكل (5) المخطط الالكتروني لدارة قيادة النواس المقلوب الدوراني

استخدمنا في تغذية النظام ككل وحدة تغذية DC تعطي جهد 12V وتيار 5A. المحرك يغذى مباشرة من هذا المتبع من خلال جسر من الترانستورات الاستطاعية، أما الـ Encoder والمعالج المصغر فتغذى من خلال منظم جهد 5V. تم استخدام منظم الجهد 7805 لأن جهد تغذية المعالج المصغر و الـ Encoder هو 5V.

2-3 النموذج الرياضي لنظام النواس المقلوب الدوراني:

تم اعتماد نموذج لنظام النواس المقلوب الدوراني عبارة عن جملة معادلات رياضية، الأمر الذي سمح باستخدام برنامج Matlab/ Simulink لتقييم أداء النظام عبر ربطه بمنحنيات مختلفة تم تصميمها.

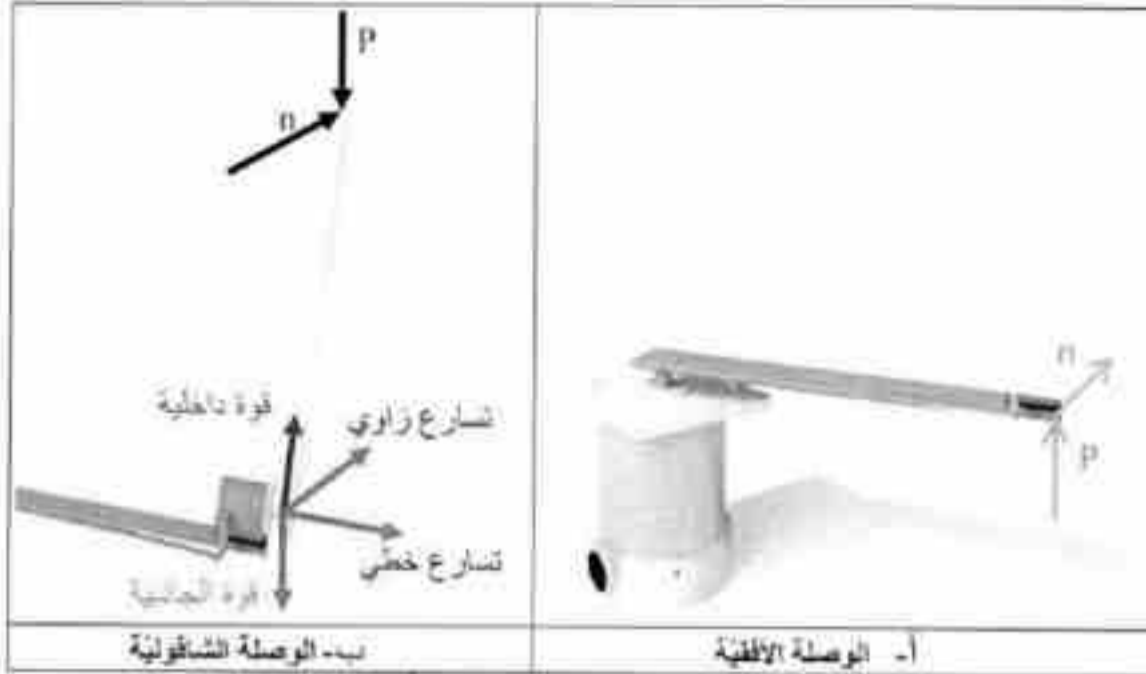
يبين الشكل (2-ب) مخطط بسيط لنظام النواس المقلوب الدوراني الذي تم تصميمه. إن اتجاهات الأسهم في الشكل تحدد الاتجاه الموجب لزاوية الوصلتين الأفقية و الشاقولية للنظام انطلاقاً من المحاورين المرجعيين للإزاحة الأفقية والشاقولية. فمثلاً عندما تكون الوصلة الشاقولية في وضع التوازن السفلي عندها يكون متحول الموضع δ مساوياً للصفر.

إن نظام المعادلات الديناميكية التي تصف النواس المقلوب يمكن استنتاجها بتطبيق قانون نيوتن لحركة الجسم الحر، أو باستخدام طريقة أولر-لاغرانج [9]. وبالتالي يمكن استنتاج المعادلات التفاضلية الممثلة لنظام النواس ككل عبر دراسة تأثير القوى على كل وصلة من وصلتي النواس بشكل منفرد، عبر تطبيق قانون نيوتن للحركة، ومن ثم دمج المعادلتين معاً للحصول على النموذج النهائي للنواس. إن مجموع العزوم M الذي تخضع لها أي وصلة قابلة للحركة حول مركز دوران يساوي إلى جداء العطالة J بالتسارع الزاوي $\ddot{\delta}$ لتلك الوصلة وفق العلاقة: $M = J\ddot{\delta}$. وبالتالي من أجل الوصلة الأفقية للنواس (الشكل 5-أ) يكون لدينا المعادلة التالية (بفرض إن اتجاه العزم يكون موجب مع عكس اتجاه عقارب الساعة):

$$\tau - nL_1 - b_1\dot{\delta}_1 = J_1\ddot{\delta}_1 \quad (1)$$

حيث " τ " تعبر عن القوة الأفقية التي تخضع لها الوصلة.

تعبر τ عن عزم محرك التيار المستمر الذي يعتبر دخل لنظام النواس، (انظر الجدول (2) من أجل عدول باقي الرموز)



الشكل (5) : مخطط القوى المؤثرة على وصلي النواس المقلوب الدوراني

الآن بدراسة مخطط الجسم الحر لوصلة النواس الشاقولية (الشكل 5-ب) عبر تطبيق قانون نيوتن $F = ma$ وبالتالي بجمع القوى في الاتجاه الأفقي كما يلي:

$$\eta = L_1 \ddot{\delta}_1 m_2 + m_2 l_2 \ddot{\delta}_2 \cos \delta_2 - m_2 l_2 \dot{\delta}_2^2 \sin \delta_2 \quad (2)$$

في حين أنه بجمع القوى في الاتجاه العمودي لوصلة النواس نحصل على المعادلة:

$$n \cos \delta_2 - p \sin \delta_2 - m_2 g \sin \delta_2 = m_2 l_2 \ddot{\delta}_2 + m_2 L_1 \ddot{\delta}_1 \cos \delta_2 \quad (3)$$

حيث p تعتبر عن القوة الشاقولية التي تخضع لها الوصلة.

الآن بتطبيق قانون العزوم على تلك الوصلة الشاقولية، ينتج مايلي:

$$J_2 \ddot{\delta}_2 = p l_2 \sin \delta_2 - n l_2 \cos \delta_2 - b_2 \dot{\delta}_2 \quad (4)$$

بضرب المعادلة (3) بـ l_2 و من ثم جمعها مع المعادلة (4) ينتج لدينا مايلي:

$$\begin{aligned} -m_2 l_2 g \sin \delta_2 - b_2 \dot{\delta}_2 &= m_2 l_2^2 \ddot{\delta}_2 + m_2 l_2 L_1 \ddot{\delta}_1 \cos \delta_2 + J_2 \dot{\delta}_2 \\ \ddot{\delta}_2 (m_2 l_2^2 + J_2) &= -m_2 l_2 g \sin \delta_2 - b_2 \dot{\delta}_2 - m_2 l_2 L_1 \ddot{\delta}_1 \cos \delta_2 \end{aligned} \quad (5)$$

بتعويض المعادلة (2) في المعادلة (1) وبعد الاختصار نحصل على العلاقة التالية:

$$\begin{aligned} J_1 \ddot{\delta}_1 &= \tau - (L_1 \ddot{\delta}_1 m_2 + m_2 l_2 \ddot{\delta}_2 \cos \delta_2 - m_2 l_2 \dot{\delta}_2^2 \sin \delta_2) L_1 - b_1 \dot{\delta}_1 \\ \ddot{\delta}_1 (J_1 + L_1 m_2) &= \tau - m_2 l_2 (\ddot{\delta}_2 \cos \delta_2 - \dot{\delta}_2^2 \sin \delta_2) L_1 - b_1 \dot{\delta}_1 \end{aligned} \quad (6)$$

تمثل العلاقاتين (5) و (6) معادلتين غير خطيتين، وهما النموذج الرياضي لنظام النواس المقلوب الدوراني الذي تم تصميمه (بدون محرك الـ DC)، والذي يمكن للتعبير عنه في Matlab بصندوق نكتب بداخله المعادلات التفاضلية الغير خطية، خرج هذه المعادلات (الذي يمثل تسارع كل من الوصلة الأفقية والشاقولية للنواس) يكامل مرتين للحصول على السرعة والموضع (للوصلتين) اللتان تعودان بتغذية عكسية إلى المعادلات التفاضلية عن طريق مجمع Multiplexer.

بالنسبة لمحرك التيار المستمر، و كما هو معروف فإن نموذج الرياضي

يمكن أن يعطى كمايلي [10]:

$$\begin{aligned} U_f &= i_f R_f + L_f \frac{di_f}{dt} \\ U_a &= i_a R_a + L_a \frac{di_a}{dt} + k \phi \omega \\ M &= k \phi i_a \end{aligned} \quad (7)$$

حيث أن $k = \phi / i_f$ يعبر عن معامل يتوافق مع الجزء الخطي من منحنى مغنطة المحرك. من السهل تمثيل المعادلات (7) في بيئة المحاكاة Simulink ، كما سنوضح ذلك في للفقرة الثالثة من هذا البحث.

وهكذا تم بناء نموذج رياضي لنظام النواس بشرط عدم وجود احتكاك سنالتيكي أو ارتداد أو تمايل. وجود هذه القوى التي تؤدي إلى عدم الخطية تجعل النمذجة الدقيقة والتحكم بالنظام أكثر صعوبة [11].

3- محاكاة نظام النواس المقلوب الدوراني بتطبيق متحكمات متنوعة

بعد أن تم اعتماد نموذج رياضي لنظام النواس المقلوب أصبح من الممكن بناء واختيار متحكمات مناسبة للنظام وتحسين أدائها قبل التطبيق العملي لها. سنقوم بتصميم ثلاثة أنواع للمتحكمات ومن ثم سنقارن بينها، نتائج المقارنة سيتم عرضها في الفقرة الرابعة من هذا البحث.

3-1 تطبيق متحكم تناسبي-تكامل-تفاضلي "PID"

كما هو معروف فإن متحكم الـ PID يتم تطبيقه على نظام خطي [12]. باعتبار ان ديناميكية أنظمة النواس المقلوب هي غير خطية (انظر إلى المعادلتين 5-6) فإننا قمنا بتقريب معادلات حركة النواس إلى معادلات خطية حول نقطة توازنه الحرجة التي عندها ستكون ذراع النواس للأعلى والسرعة الزاوية لتلك الذراع ستكون معدومة، هذا يعني أنه سيكون لدينا مايلي:

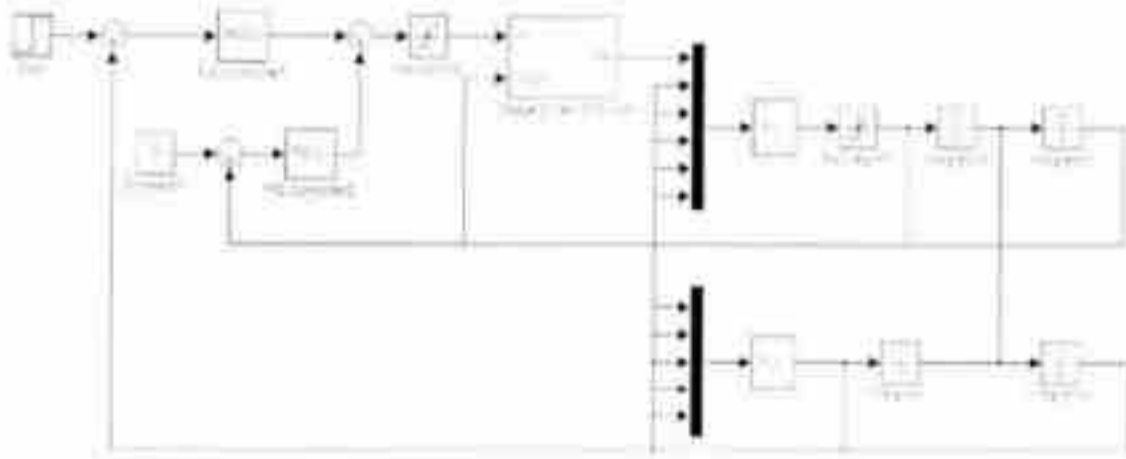
$$\delta_1 = \pi + \theta \Rightarrow \begin{cases} \sin \delta_1 = -\theta \\ \cos \delta_1 \approx -1 \end{cases} \quad (8)$$

$$\dot{\delta}_1 = 0$$

بتعويض العلاقات (8) في معادلات الحركة للنواس (5-6) يمكن أن نحصل على نموذج خطي للنظام النواس الدوراني المقلوب يمكن قيادته عن طريق متحكم PID:

$$\begin{aligned} \ddot{\delta}_1 (J_1 + L_1^2 m_2) &= \tau + m_2 l_2 L_1 \ddot{\delta}_2 - b_1 \dot{\delta}_1 \\ \ddot{\delta}_2 (m_2 l_2^2 + J_2) &= -m_2 l_2 g (\pi - \delta_1) - b_2 \dot{\delta}_2 + m_2 l_2 L_1 \ddot{\delta}_1 \end{aligned} \quad (9)$$

يبين الشكل (6) المخطط الصندوقي للنظام في بيئة Simulink، حيث تمت كتابة المعادلات التفاضلية الخطية للنظام وإضافة نموذج لمحرك الـ DC المستخدم، ومن أجل ضبط سرعة الوصلة الأفقية والحصول على أفضل استجابة أضفنا متحكم PD للتحكم بسرعة الوصلة الأفقية.



الشكل (9): مخطط محاكاة عمل نظام النواس المقلوب الدوراني بوجود متحكم PID

تمت معايرة بارامترات متحكم الـ PID و الـ PD حتى حصلنا على استجابة خرج موافقة للاستجابة المرغوبة من أجل قيم الثوابت التالية: $k_p = 15$; $k_i = 30$; $k_d = 240$. لمتحكم الـ PID و $k_p = 3$; $k_i = 5$; $k_d = 0$ من أجل متحكم الـ PD. وبالتالي فإن تابع الانتقال لمتحكم الـ PID سيكون من الشكل:

$$G(s) = \frac{240s + 15s^2 + 30}{s} \quad (10)$$

إن شكل استجابة خرج النظام في حال استخدام متحكم الـ PID سيتم عرضها في الفقرة الرابعة من هذا البحث، عند مقارنتها مع استجابة النظام باستخدام متحكمات من أنواع أخرى.

2-3 تطبيق متحكم أمثلي "LQR"

إن استخدام المنظم الخطي التربيعي LQR كمتحكم تغذية عكسية لنظام من شأنه أن يبدل نقطة عمل النظام ليلائم متطلبات التحكم، حيث يؤمن الـ LQR قانون تحكم أمثلي من أجل نظام خطي ذو تابع أداء تربيعي [13]. يتم تصميم هذا النوع من المتحكمات عن طريق حل معادلة ريكاتي الجبرية، بناء على مصفوفة أوزان الحالة R و مصفوفة أوزان التحكم Q والتي هي مصفوفات مربعة متجانسة دائماً.

الطلاقاً من النموذج الخطي لنظام التواء المقلوب الدوراني المعثل بالعلاقين (9)، نكتب الشكل المصفوفي للنموذج كمايلي:

$$\begin{bmatrix} J_1 + L_1^2 m_2 & -m_2 L_2 L_1 \\ -m_2 L_1 L_2 & m_2 L_2^2 + J_2 \end{bmatrix} \begin{bmatrix} \delta_1 \\ \delta_2 \end{bmatrix} = \begin{bmatrix} \tau - b_1 \delta_1 \\ -b_2 \delta_2 - m_2 L_2 g (\pi - \delta_2) \end{bmatrix} \quad (11)$$

من العلاقة الأخيرة (11) يمكن عزل شعاع التسارع الزاوي لوصلي التواء، بضرب طرفيها من اليسار بمقلوب المصفوفة المربعة، فنحصل على شكل جديد لنموذج التواء المتروس موصوفاً في فراغ الحالة كمايلي:

$$\begin{bmatrix} \delta_1 \\ \delta_2 \end{bmatrix} = \begin{bmatrix} 0 & 0 & 1 & 0 \\ 0 & 0 & 0 & 1 \\ 0 & (m_2 L_2^2 L_1 g) / V_d & -b_1 (m_2 L_2^2 + J_2) / V_d & -b_2 m_2 L_2 L_1 / V_d \\ 0 & (J_1 + L_1^2 m_2) m_2 L_2 g / V_d & -m_2 L_1 L_2 / V_d & -b_2 (J_2 + L_2^2 m_2) / V_d \end{bmatrix} \begin{bmatrix} \delta_1 \\ \delta_2 \\ \dot{\delta}_1 \\ \dot{\delta}_2 \end{bmatrix} + \begin{bmatrix} 0 \\ 0 \\ (m_2 L_2^2 + J_2) / V_d \\ m_2 L_2 L_1 / V_d \end{bmatrix} \tau \quad (12)$$

حيث أن القيمة $V_r = [(J_1 + L_1^2 m_2)(m_2 L_2^2 + J_2) - (m_2 L_2 L_1)^2]$ تعبر عن قيمة محدد المصفوفة المربعة (2x2) في العلاقة (11) والمضروبة بشعاع التسارع الزاوي لوصلي النواس. لحساب الربح الأمثل، لدينا معادلة ريكاتي:

$$PA + A^T P + Q - PBR^{-1}B^T P = 0 \quad (13)$$

حيث A و B تعبران عن مصفوفتي الحالة لنموذج النواس الميبين في العلاقة (12). يفرض أن المصفوفتين Q و R تم اختيارهما بحسب متحولات الحالة الأهم التي نريد أن نتحكم بها [13]، وبحيث تساويان إلى:

$$R = [1] \quad , \quad Q = \begin{bmatrix} 1 & 0 & 0 & 0 \\ 0 & 0.1 & 0 & 0 \\ 0 & 0 & 1 & 0 \\ 0 & 0 & 0 & 1 \end{bmatrix}$$

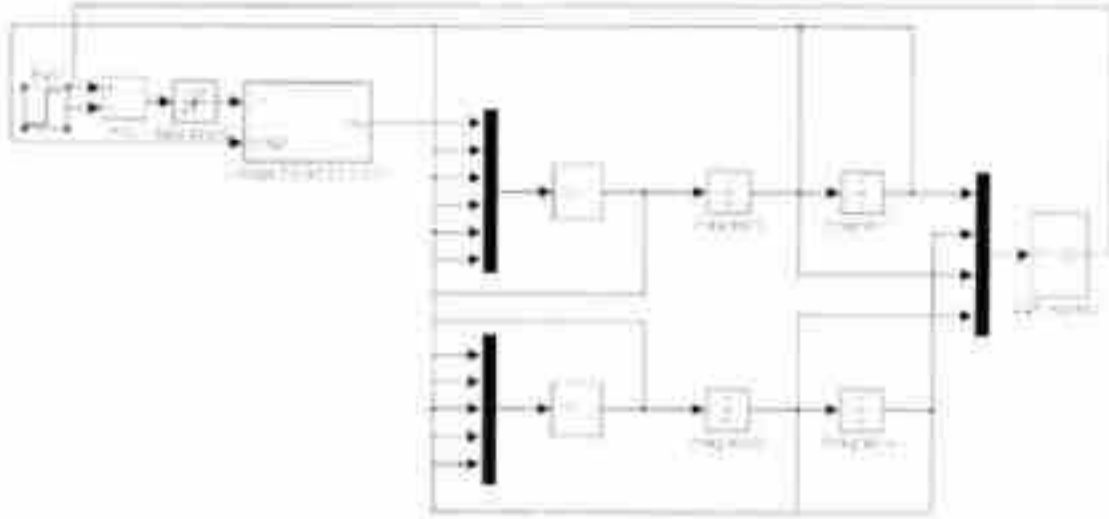
وبالتالي وباعتبار أن نظام النواس المقلوب هو من الدرجة الرابعة فإن شكل المصفوفة P بعد حسابها من معادلة ريكاتي يكون كما يلي:

$$P = \begin{bmatrix} 1.4581 & -4.1031 & 0.5631 & -0.8150 \\ -4.1031 & 42.0495 & -5.1613 & 7.8509 \\ 0.5631 & -5.1613 & 0.6945 & -1.0149 \\ -0.8150 & 7.8509 & -1.0149 & 1.5533 \end{bmatrix}$$

وأخيراً نحسب ربح المتحكم الأمثل من العلاقة $K = R^{-1}B^T P$ ، باستخدام تعليمة Matlab LQR، فنحصل على شعاع الربح التالي:

$$K = [-1 \quad 19.3995 \quad -1.4582 \quad 4.0723]$$

شعاع الربح هذا تم استخدامه لرسم المخطط الصندوقي لنظام النواس المقلوب الدوراني في بيئة Matlab/Simulink، كما هو واضح في الشكل (7). إن شكل استجابة خرج النظام في حال استخدام متحكم الـ LQR سيتم عرضها في فقرة النتائج عند مقارنتها مع استجابة النظام باستخدام متحكمات من أنواع أخرى.



الشكل (7): مخطط محاكاة عمل نظام النُّواس المقلوب الدوراني بوجود متحكم LQR

3-3 تطبيق متحكم توضع أقطاب Pole placement

يعتبر متحكم توضع الأقطاب من أبسط أنواع المتحكمات القادرة على قيادة نظام موصوف بفراغ الحالة [14]. يعتمد متحكم توضع الأقطاب على إزاحة القطب الابتدائي من يمين المحور العقدي إلى يساره، وذلك لأجل استقرار النظام و تحسين بارامترات استجابته. حيث كما هو معروف فإن مكان توضع أقطاب الحلقة المغلقة يؤثر مباشرة على خصائص الاستجابة الزمنية العابرة مثل زمن الصعود وزمن الاستقرار. يمكن اعتبار متحكم توضع الأقطاب كأنه نظام فرعي لنظام النُّواس المقلوب الدوراني سيساهم في توليد إشارة دخل مناسبة للنظام المتمذج اعتماداً على منحولات الحالة. بالنسبة للنظام الذي هو قيد الدراسة فإن منحول الحالة المطلوب التحكم به هو درجة انحراف الوصلة الشاقولية للنواس المقلوب الدوراني δ_1 (انظر الشكل (2-ب)). سيتم تقدير بارامترات إضافية للنظام $\delta_1, \delta_2, \delta_3$ في تصميم المتحكم بغية التحكم بتوضع جميع أقطاب الحلقة المغلقة. باعتبار أن النظام من الدرجة الرابعة.

بفرض أن رمز أمر التحكم الذي سيخضع له نظام النُّواس u وبتعويض قيم ثوابت النظام المدروس في نموذج فراغ الحالة لنظام النُّواس المقلوب الموصوف بالمعادلة (12) نحصل على نموذج فراغ الحالة للنظام كمايلي:

$$\begin{bmatrix} \dot{\delta}_1 \\ \dot{\delta}_2 \\ \dot{\delta}_1 \\ \dot{\delta}_2 \end{bmatrix} = \begin{bmatrix} 0 & 0 & 1 & 0 \\ 0 & 0 & 0 & 1 \\ 0 & 4.7484 & -0.0037 & -0.0075 \\ 0 & 27.0833 & -0.0027 & -0.0430 \end{bmatrix} \begin{bmatrix} \delta_1 \\ \delta_2 \\ \dot{\delta}_1 \\ \dot{\delta}_2 \end{bmatrix} + \begin{bmatrix} 0 \\ 0 \\ 37.1870 \\ 26.9182 \end{bmatrix} u \quad (14)$$

$$y = \begin{bmatrix} 0 & 1 & 0 & 0 \end{bmatrix} \begin{bmatrix} \delta_1 \\ \delta_2 \\ \dot{\delta}_1 \\ \dot{\delta}_2 \end{bmatrix}$$

وهكذا فإن خوارزمية تصميم متحكم توضع الأقطاب لنظام النواس المغلوق تؤول إلى إيجاد شعاع ربح المتحكم نو العلاقة:

$$K = [\lambda_3 - a_3 \quad \lambda_2 - a_2 \quad \lambda_1 - a_1] * T^{-1} \quad (15)$$

حيث ان:

- a_1, a_2, a_3 تمثل معاملات المعادلة المميزة للنظام المدروس في الحلقة

المفتوحة بدون متحكم $0 = s^3 + a_3 s^2 + a_2 s + a_1 = |sI - A|$

- $\lambda_1, \lambda_2, \lambda_3$ تمثل معاملات المعادلة المميزة المرغوبة للنظام المدروس في

الحلقة المغلقة بوجود متحكم توضع الأقطاب.

- T مصفوفة تحويل الأقطاب سيتم الحديث عنها في الخطوة الثانية من الخوارزمية.

- بداية سيتم اختبار قابلية التحكم للنظام، حيث في حال عدم القابلية فان تصميم متحكم توضع أقطاب لن يكون ممكناً عملياً. إن محدد المصفوفة $M = \begin{bmatrix} B & AB & A^2B & A^3B \end{bmatrix}$ يساوي إلى $|M| = -5.6026 \times 10^6$ (غير معدوم)، الأمر الذي يعني ان نظام النواس الموصوف بنموذج المعادلة (14) قابل للتحكم.
- ثانياً، تعطى مصفوفة تحويل الأقطاب بالعلاقة: $T = MW$ ، حيث انه ومن أجل نظامنا:

$$W = \begin{bmatrix} a_3 & a_2 & a_1 & 1 \\ a_2 & a_1 & 1 & 0 \\ a_1 & 1 & 0 & 0 \\ 1 & 0 & 0 & 0 \end{bmatrix} = \begin{bmatrix} -0.0879 & -27.0831 & 0.0467 & 1 \\ -27.0831 & 0.0467 & 1 & 0 \\ 0.0467 & 1 & 0 & 0 \\ 1 & 0 & 0 & 0 \end{bmatrix}$$

حيث تم إيجاد كثير الحدود المميز للنظام المفتوح من النموذج (14):

$$|sI - A| = s^4 + 0.0467s^3 - 27.0831s^2 - 0.0879s$$

بالتالي تصبح المصفوفة T من الشكل:

$$T = \begin{bmatrix} -879.3268 & 1.3958 & 37.1870 & 0 \\ 0 & 0 & 26.9182 & 0 \\ 0 & -879.3268 & 1.3958 & 37.1870 \\ 0 & 0 & 0 & 26.9182 \end{bmatrix}$$

- الآن يجب أن نختار أقطاب الحلقة المغلقة المرغوب بها. باختيار القيم المرغوبة لكل من التردد الطبيعي ومعامل التخميد كما يلي: $\omega_n = 2.7250$ و $\zeta = 0.3170$ ، فإن تابع الانتقال المرغوب لنظام التواس في وصلة التغذية العكسية سيكون من الشكل:

$$G(s) = \frac{\omega_n^4}{s^4 + 4\zeta\omega_n s^3 + (4\zeta^2\omega_n^2 + 2\omega_n^2)s^2 + 4\zeta\omega_n^3 s + \omega_n^4} \quad (16)$$

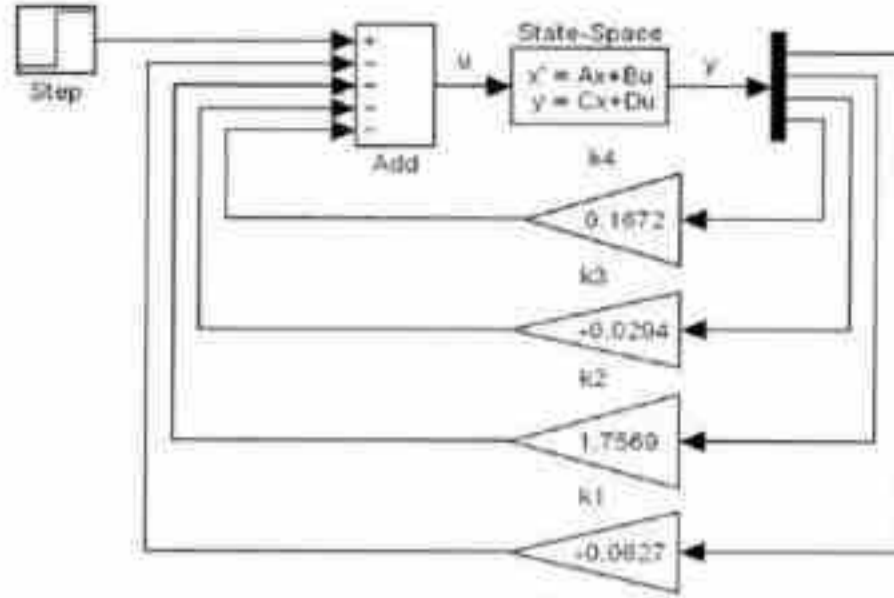
$$= \frac{55.1424}{s^4 + 3.4552s^3 + 17.8362s^2 + 25.6576s + 55.1424}$$

من مقام تابع الانتقال المذكور في العلاقة (16) نجد ان جميع اقطاب النظام المغلق واقعة في منطقة الاستقرار. ما يهنا في تصميم متحكماً هو كثير الحدود المميز للعلاقة (16)، و الذي منه نجد ان المعاملات التي نحتاجها في علاقة ربح المتحكم (15)، هي كما يلي:

$$\lambda_1 = 3.4552, \lambda_2 = 17.8362, \lambda_3 = 25.6576, \lambda_4 = 55.1424$$

بالتعويض في العلاقة (15) فإن مصفوفة التغذية العكسية (متحكم نوضع الأقطاب)

$$K = [-0.0627 \quad 1.7569 \quad -0.0294 \quad 0.1672] \quad \text{تحدد من العلاقة:}$$



الشكل (8): مخطط محاكاة عمل نظام النواس المقلوب الدوراني بوجود متحكم توضع الأقطاب.

وهو ما يظهر في الشكل (8) الذي يعبر عن محاكاة لنظام النواس المقلوب الدوراني بوجود متحكم توضع الأقطاب.

4- المقارنة و النتائج

سنستعرض في هذه الفقرة نتائج إجراء محاكاة في بيئة Matlab/Simulink لعمل نظام النواس المقلوب الذي تم تصميمه وتنفيذ قسميه الميكانيكي والالكتروني. نتيجة تطبيق خوارزميات التحكم الثلاث (متحكم الـ PID، المتحكم الأمثل LQR، متحكم توضع الأقطاب) التي تم استعراض تصميمها في الفقرة السابقة، قمنا بعمل مقارنة بين منحنيات الاستجابة لكل من الإزاحة و السرعة الزاوية للوصلة الأفقية و الشاقولية لنظام النواس المقلوب الدوراني، كما هو مبين في الشكل (9). نتيجة المقارنة وصلنا إلى أن زاوية النواس δ (زاوية الوصلة الشاقولية للنواس) تستقر عند القيمة صفر (القيمة المرغوبة) في حال استخدام الأنواع الثلاث للمتحكمات (المذكورة في الفقرة الثالثة من هذه الورقة)، ولكن؛

- عند استخدام متحكم أمثل LQR نحصل على أفضل استجابة، حيث ان نسبة تجاوز الهدف لم تزيد عن 2.5%، وان زمن الاستقرار لم يزد عن 5sec.

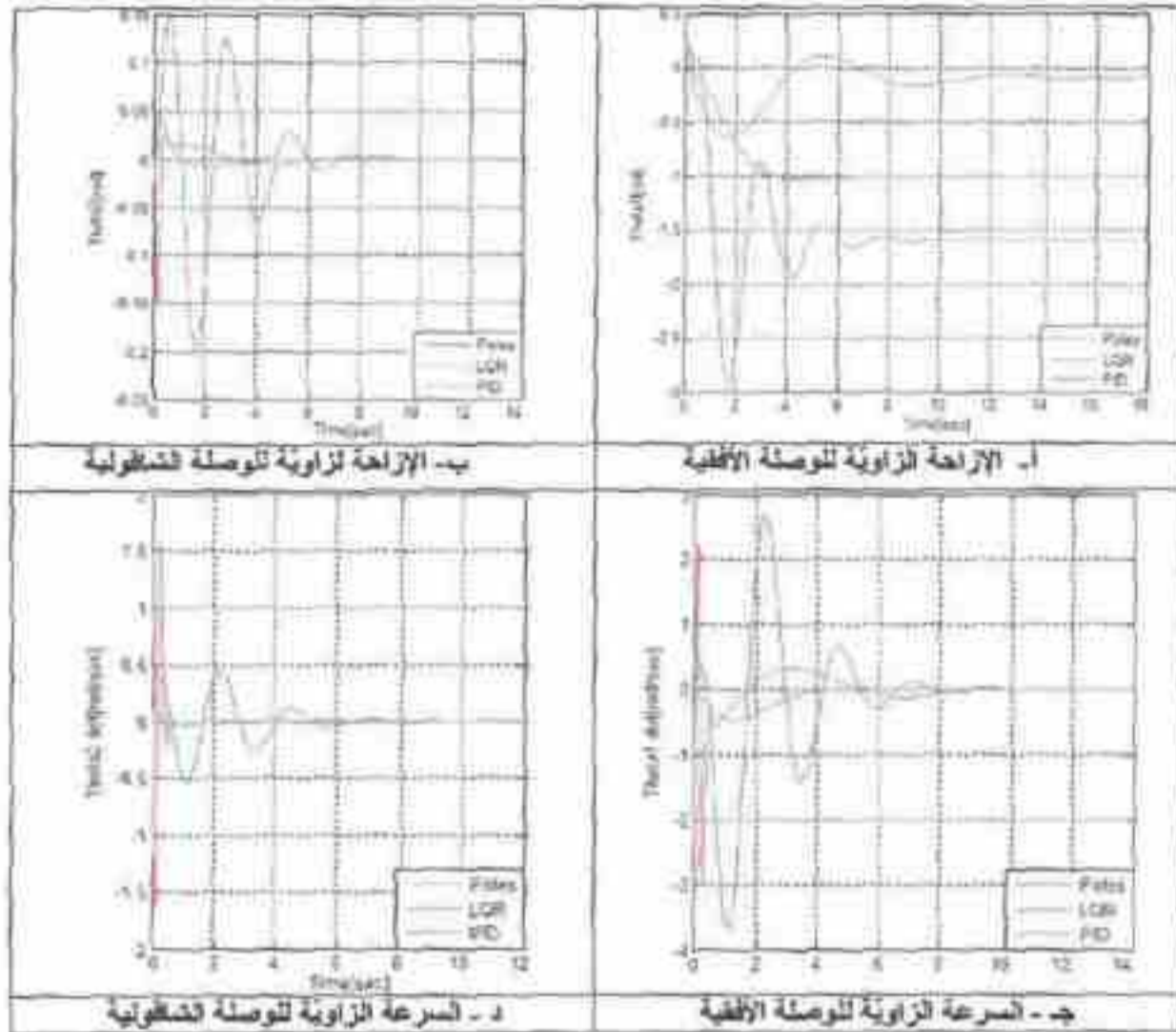
• عند استخدام متحكم PID نحصل على استجابة ذات نسبة تجاوز للهدف تساوي إلى 4%، و زمن استقرار 6.2 sec

• عند وجود متحكم توضع الأقطاب نحصل استجابة تنسم بنسبة تجاوز للهدف تساوي إلى 15%، و زمن استقرار 8.5 sec

نلاحظ من المنحنيات على الشكل (9) أن المتحكم الأمثلي LQR يعطينا أفضل استجابة حيث هو الأسرع استقراراً بأقل اهتزازات. حيث ومن الشكل (9-أ) نجد أن الإزاحة الزاوية للوصلة الأفقية (نتيجة دوران محرك الـ DC) مع متحكم الـ LQR هي الأسرع والأنعم استقراراً مقارنة مع منحنى الإزاحة عند تطبيق المتحكمين الباقيين. ان النتيجة نفسها حصلنا عليها عندما رسمنا تغيرات السرعة الزاوية للوصلة الأفقية و الشاقولية للنظام في الشكلين (12-ج) و (12-د)، ما يؤكد أن المتحكم الأمثلي المصمم هو الأنسب والأفضل لنظامنا المصمم. لكن من الناحية التطبيقية يعتبر المتحكم الأمثلي الأصعب تطبيقاً في متحكمات الـ AVR (الأكثر وفرة في السوق) باعتبارها لا تدعم مثل هذا النوع من الخوارزميات. الأمر الذي منعنا من تطبيق المتحكم الأمثلي، على أمل أن نستخدم متحكمات أسرع من نوع الـ DSP في المرحلة الثانية لبحثنا.

أن متحكم توضع الأقطاب يعتبر سهل التطبيق ولكنه ذو استجابة بطيئة نسبياً (انظر الشكل (9))، وبالتالي فإنه قد لا يعطي نتائج مرضية أثناء التشغيل ولذلك تم استبعاده في عملية تنفيذ المتحكم للنظام الحقيقي.

كما وجدنا خلال المحاكاة فإن متحكم الـ PID يعطي استجابة سريعة نسبياً، و باهتزازات مقبولة. إن أهم ميزة لهذا المتحكم هو سهولة التطبيق والمعايرة، كما يمكن تنفيذه في متحكمات الـ AVR. الأمر الذي جعلنا (حالياً) نستخدمه في عملية تنفيذ المتحكم للنظام الحقيقي. في الحقيقة لقد تم التنفيذ ونجح النظام المصمم بنسبة تفوق الـ 70% في موازنة الوصلة الشاقولية للأعلى بالرغم من تزايد الاهتزازات (مقارنة مع نتائج المحاكاة) قبل الاستقرار الشاقولي للأعلى.



الشكل (٩): مقارنة بين تغيرات متحولات الحالة لنظام النواس المقلوب الدوراني في مرحلة المحاكاة، من أجل ثلاثة أنواع لخوارزميات تحكم.

٥- الخلاصة وآفاق التطوير المستقبلية:

تم في هذا البحث تصميم و تنفيذ نظام نواس مقلوب دوراني بأقسامه الميكانيكية والالكترونية، وبناء خوارزمية التحكم به. كما تم اعتماد نموذج رياضي للنظام بجميع أقسامه، فحصلنا على نموذج تابع الانتقال و نموذج فراغ الحالة للنواس. قمنا فيما بعد ببناء و تصميم ثلاثة أنواع لمتحكمات قادرة على قيادة نظام النواس المقلوب وتحسين أدائه. نتيجة محاكاة عمل النواس في بيئة Matlab/Simulink والمقارنة بين النتائج التي حصلنا عليها، توصلنا إلى أن متحكم الـ LQR الأمثل يعطينا أفضل استجابة مقارنة مع متحكم الـ PID ومتحكم

توضع الأقطاب، حيث كان الـ LQR الأسرع استقراراً و بأقل إهتزازات. تم التأكد من هذه النتيجة برسم تغيرات كل من الإزاحة و السرعة الزاوية للوصلة الأفقية و الشاقولية لنظام النواس المقلوب الدوراني.

إن نجاح تنفيذ و قيادة نظام النواس المقلوب الدوراني يجعله أداة تعليمية و توضيحية مهمة جداً، يمكن استثمارها في القسم العملي لمقررات التحكم التي تدرس لطلاب الهندسة في الجامعة. حيث إن توفر المخطط الصنوفي للنظام بجانب النظام الحقيقي سيرد على الكثير من تساؤلات الطلاب.

إن نظام النواس المقلوب المنفذ في هذا البحث يمكن تطويره لكي يتضمن عدة وصلات أو حتى وصلات قابلة لتغيير طولها. كما يمكن تطوير متحكم "swing up" قادر على رفع ذراع النواس من وضعيتها الشاقولية في الأسفل إلى الأعلى و يوازنها. بمعنى آخر تصميم متحكم يعطي النظام القدرة على العمل في نقطة التوازن دون ضبط يدوي، الأمر الذي يضيف المزيد من المتعة للمشاهدين ويزيد المزيد من تعقيد العمل بالنسبة للمصممين. لقيام بذلك فإنه يجب استخدام أحدث المعالجات التي تسمح بتطبيق نظريات تحكم أكثر تعقيداً، كالنحكم الأمثلي و التحكم التكيفي حيث يستطيع هذا الأخير ضبط ثوابته آلياً بدلاً من معايرتها يدوياً، ويستطيع التكيف مع المشاكل الناجمة عن الاضطرابات و الضجيج.

جدول (2): قائمة البارامترات و الرموز المستخدمة

الرمز	مفول الرموز	القيمة العددية	الواحدة
δ	زاوية الوصلة الأفقية في المستوى الأفقي		rad
$\dot{\delta}$	السرعة الزاوية للوصلة الأفقية في المستوى الأفقي		rad/s
$\ddot{\delta}$	التسارع الزاوي للوصلة الأفقية		rad/s ²
δ_2	زاوية وصلة النواس في المستوى الشاقولي		rad
$\dot{\delta}_2$	السرعة الزاوية لوصلة النواس في المستوى الشاقولي		rad/s
$\ddot{\delta}_2$	التسارع الزاوي لوصلة النواس		rad/s ²
J_1	عطالة الوصلة الأفقية عند مركز ثقلها	2.48E-02	kgm ²
J_2	عطالة الوصلة الشاقولية عند مركز ثقلها	3.86E-03	kgm ²
l_2	المسافة بين مركز دوران وصلة النواس الشاقولية ومركز ثقلها	0.20	m

m_1	كتلة وصلة النواس الأفقية	0.19	kg
m_2	كتلة وصلة النواس الثقولية	0.09	kg
L_1	طول الوصلة الأفقية	0.30	m
L_2	طول وصلة النواس الثقولية	0.414	m
g	تسارع الجاذبية الأرضية	9.81	m.s ⁻²
b_1	معامل التخميد للزوج عند مركز دوران الوصلة الأفقية	0.0001	Nms
b_2	معامل التخميد للزوج عند مركز دوران الوصلة الثقولية	0.00028	Nms

Reference

- [1] Ireneusz D., 2011, **Fuzzy Logic Control of Rotational Inverted Pendulum**, *Solid State Phenomena*, Vol. (177), pp 84-92.
- [2] Franklin G.F., Powell J.D., Emami-Naeini A., 2002, **Feedback Control Of Dynamic Systems**, New Jersey: Prentice Hall.
- [3] Dorf R.C., Bishop R.H., 1998, **Modern Control Systems**, 8th edition, Addison Wesley Longman.
- [4] Atmaja, B.K.; Joelianto, E., 2011, **Surface control design of rocket using MIMO PID robust integral backstepping**, 2nd International Conference on Instrumentation Control and Automation (ICA), Page(s): 162 – 169.
- [5] <http://www.hilifuncity.ae/en/attractions/funny-traffic.aspx>
- [6] Chee-Mun Ong, **Dynamic simulation of electric machinery: using MATLAB/SIMULINK**, Prentice Hall PTR, 1998.
- [7] http://www.sparkfun.com/datasheets/Robotics/L298_H_Bridge.pdf
- [8] <http://www.atmel.com/products/microcontrollers/avr/default.aspx>
- [9] W Zhong, **Energy and Passivity Based Control of the Double Inverted Pendulum**, Proc. of 2001 IEEE International Conference on Control Applications & International Symposium on Intelligent Control, Mexico City, Mexico, pp. 896-901, September 5-7, 2001
- [10] <http://www.library.cmu.edu/etms/etms/simulink/examples/motor2/motor2s.htm>
- [11] Cazzolato B., Prime Z., 2011, **On the Dynamics of the Furuta Pendulum**, *Journal of Control Science and Engineering*, Vol., 8 p.
- [12] C.-L. Smith, 2009, **Practical Process Control-Tuning and Troubleshooting**, John Wiley & Sons, 431 p.
- [13] FAIZUL C., SALLEH B., 2008, **Linear quadratic regulator (LQR) speed control for DC motor**, Master Thesis, Malaysia Pahang University press,.
- [14] S.-M. Tripath, 2008, **Modern Control Systems - An Introduction**, Infinity Science Press LLC.

تصميم وتنفيذ نظام نواس مقلوب دوراني و التحكم به

الدكتور أسامة علي

مدرس في قسم هندسة التحكم والأتمتة

كلية الهندسة الكهربائية والإلكترونية، جامعة حلب

الملخص

يهدف هذا البحث إلى بناء منظومة لنظام نواس مقلوب دوراني تم تصميمه و تنفيذه بشكل حقيقي. إن نظام النواس المقلوب الدوراني يتكون من وصلة أفقية (ذراع) مرتكزة على محرك يقوم بتدويرها، وفي نهايتها ذراع أخرى صلبة تشبه العصا (النواس) تدور بحرية في مستوى معامد للوصلة الأولى. إن نظام النواس هو نظام غير مستقر وغير خطي بشكل كبير. يجب أن يقاد النواس بخوارزمية تحكم وبشكل دائم من أجل إبقائه في وضع توازنه الشاقولي للأعلى، لذلك نحتاج إلى تعديل مستمر في وضعية النواس للمحافظة على التوجيه الصحيح والمطلوب له. لقد تمت محاكاة النموذج الرياضي للنواس باستخدام برنامج Matlab/Simulink بتصميم عدة متحكمات والمقارنة بينها لاختيار المتحكم الأفضل. بناءً على النتائج التي توصلنا إليها في هذا البحث استطعنا إبقاء نظام النواس المنروس في وضع توازنه الشاقولي للأعلى والمحافظة على استقراره.

الكلمات المفتاحية:

نظام نواس مقلوب دوراني، متحكم PID، متحكم أمثلي LQR، متحكم توضع الأقطاب، المحاكاة في Matlab/Simulink.

ورد هذا البحث للنشر في المجلة بتاريخ 2012/ /

قابل للنشر بتاريخ 2012/ /